

مطالعه شیمی کانی‌ها و فابریک‌های ماقمایی - تکتونیکی دایک‌های پگماتوئیدی، جنوب خاور همدان

لیلی ایزدی‌کیان^{۱*} و اشرف ترکیان^۲

۱- استادیار گروه زمین‌شناسی، دانشکده علوم‌پایه، دانشگاه بولعلی‌سینا، همدان، ایران

۲- دانشیار گروه زمین‌شناسی، دانشکده علوم‌پایه، دانشگاه بولعلی‌سینا، همدان، ایران

* lizadi@basu.ac.ir

نوع مقاله: پژوهشی

دریافت: ۱۴۰۳/۹/۱۴ پذیرش: ۱۴۰۳/۱۲/۱۱

چکیده

در جنوب خاور همدان دایک‌های پگماتوئیدی فراوانی به درون شیسته‌ها نفوذ کرده‌اند. این دایک‌ها دارای ترکیب کانی‌شناسی شامل آلیت، فلدسپار آلکالن، تورمالین، کوارتز و مسکویت است. مطالعه بر روی نحوه نفوذ دایک‌ها به درون شیسته‌ها، تشخیص انواع مختلف دایک‌ها بر اساس خصوصیات میکروسکوپی و بررسی تعامل آن‌ها با سنگ میزبان، از اهداف کلیدی این تحقیق بوده و نتایج آن می‌تواند به درک عمیق‌تری از عوامل مؤثر در شکل‌گیری دایک‌های پگماتوئیدی و تأثیرات آن‌ها بر روی زمین‌شناسی منطقه منجر شود. براساس آنالیز نقطه‌ای تورمالین‌ها از نوع سورلیت، فلدسپارها از نوع ارتوکلаз، پلاژیوکلازها از نوع آلبیت و مسکویت‌ها اعضو انتهایی مسکویت-سلادونیت هستند. با توجه به مقدار Fe# در برابر اکسید منیزیم، نمونه‌ها در قلمرو A و فاصله رگه‌های پگماتوئیدی از منبع تغذیه کننده سیال آن‌ها حدود ۱ کیلو‌متر می‌باشد. دایک‌ها شبیب کم تا قائم و ضخامت متغیر دارند و امتداد غالب آن‌ها NW-SE است. فابریک‌هایی ماقمایی مانند جهت‌یابی کانی‌ها و انکلواها، بافت نواری در داخل دایک و فابریک‌هایی مانند خطواره‌های حرارتی در سطح خارجی دایک در تعامل با سنگ میزبان در آن‌ها شکل گرفته است. با توجه به مشاهدات صحرایی و مطالعات میکروسکوپی دایک‌های منطقه از نظر دگرشکلی در سه نوع مختلف دایک‌های اتساعی (کششی)، دایک‌های فعال و دایک‌های میلونیتی طبقه‌بندی می‌شوند. دایک‌های اتساعی در شکستگی‌های موجود در سنگ میزبان (درزه، گسل، برگوارگی شیست) شکل گرفته‌اند و بافت شانه‌ای در این نوع از دایک‌ها شکل گرفته است. حضور این بافت ن Rox باشدگی کم تا متوسط شکستگی‌ها را نشان می‌دهد. دایک‌های نوع دوم فعل هستند و فشار ماقما باعث ایجاد بافت نواری در دایک‌ها به موازات دیواره شده است. نوع سوم دایک‌های میلونیتی هستند و شواهد دگرشکلی حالت جامد دارند. این دایک‌ها بعد از سرد شدن مجدداً تحت تاثیر پهنه‌های برشی تغییر شکل یافته‌اند و شواهد ریز ساختاری دمای بالای دگرشکلی آن‌ها را نشان می‌دهند.

واژه‌های کلیدی: دایک، پگماتیت، فابریک، نسبت ابعادی، همدان

۱- پیشگفتار

اندازه کافی بالا باشد تا بر فشار سنگ میزبان اطراف غلبه کند. ماقمایی داخل دایک با از دست دادن حرارت، شروع به سرد شدن و تبلور می‌کند و در نهایت به سنگ آذرین درشت بلور یا ریز بلور تبدیل می‌شود. جهت دایک‌ها اغلب توسط میدان تنش منطقه‌ای کنترل می‌شود (گودمندیسون، ۲۰۰۰؛ مولر و همکاران، ۲۰۰۱؛ تیبالدی، ۲۰۰۳؛ مک‌گوری و پولن، ۱۹۸۹؛ کلمنت و همکاران، ۲۰۰۷؛ دالنی و پولارد، ۱۹۸۱). به عنوان مثال، در مناطقی که نیروهای کششی غالب هستند، دایک‌ها اغلب عمود بر حداقل تنش اصلی (σ_3) تشکیل می‌شوند و تنش‌های حداکثر و متوسط اصلی (σ_1 و σ_2) بر صفحه دایک منطبق هستند (بابیکر و گودمندیسون، ۲۰۰۴). دایک‌های همزمان

دایک‌ها معمولاً در امتداد نقاط ضعف پوسته مانند گسل‌ها، درزه‌ها یا شکستگی‌ها نفوذ می‌کنند. این شکستگی‌ها می‌توانند به دلیل نیروهای زمین‌ساختی (مانند تنش کششی یا فشاری)، سرد شدن و انقباض سنگ یا سایر مکانیسم‌های ناشی از تنش ایجاد شوند. ماقما که از ذوب بخشی در گوشته یا پوسته پایینی ایجاد می‌شود، به دلیل شناور بودن به سمت بالا حرکت می‌کند و از طریق مجرایها و شکستگی‌ها به سمت سطح می‌رسد (داس و مالیک، ۲۰۲۰). زمانی که ماقما با شکستگی یا ناحیه ضعف مواجه می‌شود، به داخل فضای موجود می‌ریزد و سنگ‌های اطراف یا همان سنگ میزبان را جابجا می‌کند. فشار ماقما باید به

۳- زمین‌شناسی منطقه

منطقه مورد مطالعه از نظر ساختاری در پهنه سندنج-سیرجان و در زیر پهنه دگرشكلى‌های پيچیده قرار دارد که چند مرحله تکامل دگرگونی (منفردی و همکاران، ۲۰۲۰) و دگرشكلى (بربريان و علوی، ۱۹۹۷؛ ايمانپورنمين و سركاري‌نژاد، ۲۰۲۱) را متحمل شده است. پهنه سندنج-سیرجان به عنوان يك حاشيه قاره‌اي فعال با ماماتيسم قابل توجه در دوران مژوزوئيک در نظر گرفته شده است (به عنوان مثال، مهدىپور قاضى و موذن، ۲۰۱۵؛ فاسمي و تالبوت، ۲۰۰۶؛ حسن‌زاده و ورنیک، ۲۰۱۶؛ تكين، ۱۹۷۲). اين قوس مامامي به دليل فروزانش پوسته اقیانوسی نئوتیس زیر میکرو-قاره مرکزی ايران در جنوب ابرقاره اوراسيا شكل گرفته است (سپاهي و همکاران، ۲۰۱۹). در اين واحد تکتونو-مامامي، چندین مجموعه پلوتونيك وجود دارد. توده‌های گرانیت و گابرو به سن ژوراسيک ميانه تا پسين را كه به نام توده مرکب الوند شناخته می‌شوند، با قدمت ۱۷۲ تا ۱۵۳ میلیون سال در کاني‌های زيرکن و موナزيت تعیین سن گردیده و با دگرگونی مجاوري همراه مشخص می‌شوند (محمدی و همکاران، ۲۰۱۱؛ عزيزي و همکاران، ۲۰۲۴؛ سپاهي و همکاران، ۲۰۱۸؛ شهبازى و همکاران، ۲۰۱۰). سنگ‌های دگرگونی ناحيه‌اي منطقه، شامل انواع ميكاشيستهای آندالوزيت‌دار هستند که با توده‌هایي با اندازه‌های مختلف از استوک تا دايک‌هایي از جنس گرانیت‌های پگماتيتي همراه می‌شوند (ولی‌زاده و ترکيان، ۱۹۹۹). اين دايک‌ها در فاصله دورتری از توده الوند قرار دارند و روند عمومی شمال باخته-جنوب خاور را نشان می‌دهند (شکل ۱). کاني‌های اصلی دايک‌ها شامل کوارتز، پلاژيوکلاز، پاتسيم فلدسبار، مسکويت و گارنت هستند (شکل ۲A). سنگ ميزبان دايک‌ها، شيست‌ها هستند و به علت تبادل حرارتی، در نزديکی دايک‌ها تورمالين شيست تشکيل شده است و حتی در ديواره دايک‌ها در برخی قسمت‌ها بلورهای درشت تورمالين رشد کرده‌اند. در اثر نفوذ عنصر بور از مامامي پگماتيتي داخل دايک‌ها به شيست‌های سنگ ميزبان، بلورهای تورمالين به سرعت رشد کرده و بافت پوئيکيليتی دارند (سلامي، ۱۳۹۵) و بلورهای کوارتز در داخل تورمالين‌ها به دام افتاده است (شکل B2). در برخی از دايک‌ها بلورهای بزرگ کوارتز، مسکويت و فلدسبار بصورت

با تكتونيك ساختارهای زمین‌شناسی هستند که در طی تغيير شكل تكتونيكی فعال شكل می‌گيرند. آن‌ها اطلاعات مهمی در مورد وضعیت تنش پوسته در زمان تشکيل خود راene می‌دهند. ميدان تنش محلی می‌تواند در طول زمان تغيير کند، بنابراین جهت‌گيري و شكل دايک ممکن است مععكس کننده تاريخ‌های پيچیده تكتونيكی شامل مراحل متعدد تنش باشد (بابيك و گودمندsson، ۲۰۰۴). دايک‌های پگماتيتي و آپليتي مجموعه پلوتونيك الوند، سنگ‌های دگرگونی مجاوري و سنگ‌های دگرگونی ناحيه‌اي نفوذ کرده‌اند (سپاهي و همکاران، ۱۳۹۳). دايک‌های پگماتيتي و آپليتي جنوب خاور همدان از دير باز مورد توجه زمین‌شناسان بوده و مطالعات زيادي در زمينه کانى-شناسی، سنگ‌شناسی، ژئوشيمى و سيلات در گير جهت شناخت منشا پگماتيتها صورت گرفته است (به عنوان مثال سپاهي و همکاران، ۲۰۱۸؛ ۱۳۹۳؛ ۲۰۲۰). هدف از اين مطالعه، بررسى و توصيف ويزگى‌های زمین‌شناسی دايک‌های پگماتوئيدي در جنوب خاور همدان می‌باشد. اين تحقيق به تحليل ترکيب کانى‌شناسی، بافت و دگرشكلى اين دايک‌ها پرداخته و تلاش دارد تا فرآيندهای تشکيل و تحولات ژئodynamiکي مرتبط با اين ساختارها را شناسايی نماید.

۲- روش مطالعه

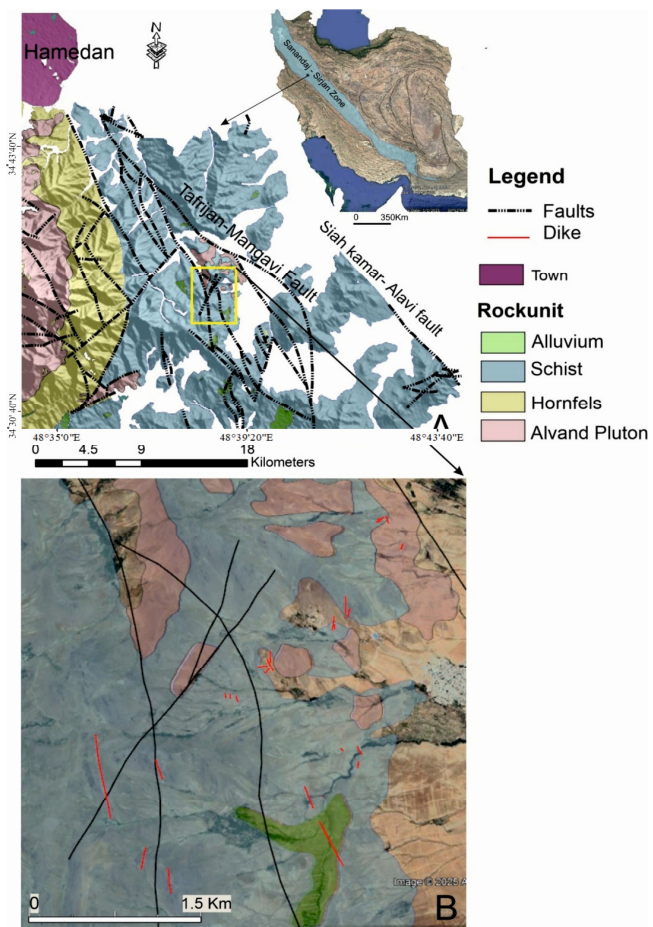
در اين پژوهش ابتدا بازدید و بررسى‌های صحرائي جهت توصيف واحدهای سنگی، تحليل ساختاري، اندازه‌گيرى دقیق پارامترهایی چون برگوارگی و خطوارگی و نمونه‌برداری جهت‌دار انجام شد. سپس مقاطع نازک به موازات خطوارگی و عمود بر برگوارگی در آزميشگاه تهييه مقطع دانشگاه بوعلي سينا، تهيه و سپس پتروگرافی و ريزساختارهای آن مورد بررسى و تجزيه و تحليل قرار گرفت. عاليم اختصاری کانى‌ها از ويتنى و ايوانز (۲۰۱۰) گرفته شده است. تعیین ترکيب شيميايی و آناليز نقطه‌ای نمونه کانى‌ها به صورت عنصری توسيط آشكارساز اشعه اينکس¹ در آزميشگاه کانى‌شناسی مرکز تحقیقات فرآوري مواد معدني ايران صورت گرفته است بعلاوه عکس‌برداری از کانى‌ها توسيط ميكروسكوب الكترونى روبشی² (SEM) مدل Leo 1450VP. ساخت شركت Leo آلمان در آزميشگاه مذكور انجام شده است.

² Scanning Electron Microscope

¹ EDS-Energy Dispersive Spectroscopy

در کنترل ساختارهای دگرگشکلی در منطقه داشته‌اند. گسل‌های اصلی منطقه راستای شمال باخترا-جنوب خاور و شمال خاور-جنوب باخترا دارند و بخش اعظم آن‌ها را گسل‌های نرمال و معکوس با مؤلفه امتداد لغز تشکیل می‌دهند (ایزدی کیان و همکاران، ۱۳۸۸).

عمود بر دیواره دایک رشد کرده‌اند (شکل C2). در منطقه مورد مطالعه تعداد زیادی گسل وجود دارد که طول آن‌ها از حدود چند صد متر تا بیش از ۲۰ کیلومتر متغیر است و پایانه شمال باخترا برخی گسل‌ها وارد حریم شهر شده‌اند (سلیمی و علیپور، ۱۴۰۲). این گسل‌ها نقش مهمی



شکل ۱. نقشه زمین‌شناسی ساده شده منطقه (A) و موقعیت دایک‌ها (خطوط قرمز رنگ) (B)، اقتباس از نقشه همدان با مقیاس 1:100000 (اقلیمی، ۱۳۷۹)

Fig. 1. The simplified geological map of the area (A) and the location of the dikes (Red lines) (B), adapted from the Hamadan map at a scale of 1:100,000 (Eghlimi, 2000)

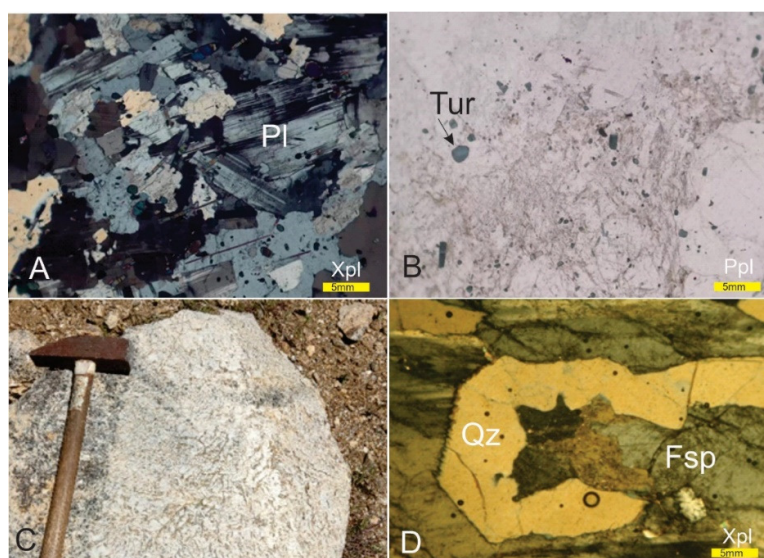
اکسیداسیون بالا، شرایط دما و فشار پایین و حضور سیال‌های هیدروترمال باشد. کانی‌های سازنده غالباً دارای بافت پگماتیتی هستند ولی بافت گرافیکی، که محصول هم‌رشدی کانی‌های کوارتز و فلدسپار آلکالن می‌باشد، هم در نمونه دستی و هم در مقاطع میکروسکوپی به خوبی مشهود است (شکل ۳ C و D). در راستای تعیین ترکیب کانی‌های سازنده دایک‌ها تعدادی از نمونه‌ها مورد تجزیه نقطه‌ای قرار گرفته‌اند (شکل ۴) و نتایج این داده‌ها در جدول‌های ۱ تا ۳ ارائه شده‌اند.

۴- سنگ‌نگاری و شیمی کانی دایک‌های پگماتوئیدی مطالعات صحراوی و مقاطع میکروسکوپی دایک‌های پگماتوئید جنوب خاور همدان ترکیب سنگ‌شناسی نسبتاً یکنواختی را در تمام آن‌ها نشان می‌دهد. دایک‌ها اغلب شامل کانی‌های اصلی پلاژیوکلاز، ارتوکلاز، تورمالین، کوارتز و مسکویت هستند و اصولاً کانی بیوتیت در این دایک‌ها وجود ندارد (شکل A2 و B) (اقلیمی، ۱۳۷۹). عدم وجود بیوتیت ممکن است مرتبط با ترکیب شیمیایی ماگما (غمی از پتانسیم و آلومینیوم و فقیر از آهن و منیزیم)، شرایط



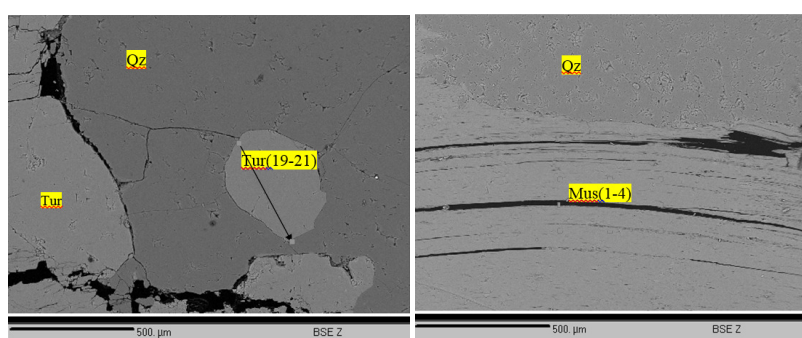
شکل ۲. ترکیب سنگ‌شناسی اصلی دایک‌ها و میزبان آن، (A) مرز دایک و تورمالین شیست، (B) بافت پوئیسکیلیتی تورمالین‌ها، (C) ترکیب کانی‌شناسی دایک و بلورهای طویل مسکوویت و کوارتز عمود بر دیواره دایک.

Fig. 2. The main lithological composition of the dikes and their host rock. A: The boundary between the dike and tourmaline schist; B: The poikilitic texture of the tourmalines; C: The mineralogical composition of the dike and the elongated crystals of muscovite and quartz perpendicular to the dike wall.



شکل ۳. ترکیب سنگ‌شناسی پلاژیوکلاز، کوارتز و تورمالین (A و B)، بافت گرافیکی در دایک‌ها (C)، تصویر میکروسکوپی همرشدی کوارتز و فلدسپار (بافت گرافیک) (D). علائم اختصاری کانی‌ها: PI (پلاژیوکلاز); Tur (کوارتز); Qz (کوارتز)، Fsp (فلدسپار).

Fig. 3. The lithological composition of plagioclase, quartz, and tourmaline (A and B), graphic texture in the dikes (C), and a microscopic image of the overgrowth of quartz and feldspar (graphic texture) (D). PI : (plagioclase); Qz (quartz); Tur (Tourmaline); Fld (feldspar).



شکل ۴. تصاویر میکروسکوپ الکترونی (BSE) برخی کانی‌های موجود در دایک‌ها

Fig. 5. BSE electron microscope images of some of the minerals present in the dykes

جدول ۱. نتایج آنالیز نقطه‌ای تورمالین‌های دایک‌های مورد مطالعه. عناصر اصلی بر حسب درصد وزنی می‌باشد. شورلیت = Schorl؛ تورمالین = Table 1. Results of point analysis of tourmalines in the studied dikes. Major elements are expressed as weight percentages. Schorl = Schorl; Tourmaline = Tu.

Point. No	Tu								
SiO ₂	39.31	37.19	37.39	36.78	36.72	36.22	36.00	36.47	35.48
TiO ₂	0.01	0.35	0.30	0.20	0.21	0.14	0.17	0.11	0.14
Al ₂ O ₃	34.00	33.75	34.96	34.99	34.61	34.37	33.67	34.70	34.16
FeO	14.76	14.23	14.17	14.07	13.91	14.55	15.26	14.84	15.06
MgO	0.85	2.62	0.88	1.04	0.93	0.38	0.48	0.53	0.46
CaO	0.11	0.15	0.13	0.15	0.10	0.09	0.17	0.06	0.17
MnO	0.22	0.08	0.14	0.14	0.15	0.23	0.27	0.25	0.26
Na ₂ O	1.81	1.67	1.77	1.94	1.83	1.68	1.94	1.74	1.92
K ₂ O	0.04	0.05	0.04	0.04	0.03	0.04	0.05	0.03	0.06
Total	105.85	104.62	104.30	103.78	102.80	101.83	102.09	103.01	101.75
O=F	0.00	0.00	0.00	0.00	0.00	0.00	0.00	0.00	0.00
Total*	105.85	104.62	104.30	103.78	102.80	101.83	102.09	103.01	101.75
Structural formula based on 31 anions (O, OH, F)									
T: Si	6.24	5.98	6.02	5.96	6.00	5.99	5.98	5.97	5.91
Al	0.00	0.02	0.00	0.04	0.00	0.01	0.02	0.03	0.09
B	3.00	3.00	3.00	3.00	3.00	3.00	3.00	3.00	3.00
Z: Al	6.00	6.00	6.00	6.00	6.00	6.00	6.00	6.00	6.00
Mg	0.00	0.00	0.00	0.00	0.00	0.00	0.00	0.00	0.00
Cr	0.00	0.00	0.00	0.00	0.00	0.00	0.00	0.00	0.00
Fe ³⁺	0.00	0.00	0.00	0.00	0.00	0.00	0.00	0.00	0.00
Y: Al	0.36	0.38	0.63	0.64	0.66	0.69	0.56	0.67	0.61
Ti	0.00	0.04	0.04	0.02	0.03	0.02	0.02	0.01	0.02
Fe ³⁺	0.00	0.00	0.00	0.00	0.00	0.00	0.00	0.00	0.00
Mg	0.20	0.63	0.21	0.25	0.23	0.09	0.12	0.13	0.11
Mn	0.03	0.01	0.02	0.02	0.02	0.03	0.04	0.03	0.04
Fe ²⁺	1.96	1.91	1.91	1.91	1.90	2.01	2.12	2.03	2.10
Zn	0.00	0.00	0.00	0.00	0.00	0.00	0.00	0.00	0.00
Li*	0.00	0.00	0.00	0.00	0.00	0.00	0.00	0.00	0.00
ΣY	2.55	2.98	2.81	2.84	2.83	2.85	2.86	2.88	2.88
X: Ca	0.02	0.03	0.02	0.03	0.02	0.02	0.03	0.01	0.03
Na	0.56	0.52	0.55	0.61	0.58	0.54	0.62	0.55	0.62
K	0.01	0.01	0.01	0.01	0.01	0.01	0.01	0.01	0.01
OH	4.00	4.00	4.00	4.00	4.00	4.00	4.00	4.00	4.00
F	0.00	0.00	0.00	0.00	0.00	0.00	0.00	0.00	0.00
Cl	0.00	0.00	0.00	0.00	0.00	0.00	0.00	0.00	0.00
Mineral Name	Schorl								
MgO	0.85	2.62	0.88	1.04	0.93	0.38	0.48	0.53	0.46
Fe#	0.95	0.84	0.94	0.93	0.94	0.97	0.97	0.97	0.97

تبادلهای عمده در موقعیت‌های Z'Y'X' و OH رخ می‌دهد. انواع کانی‌های تورمالین را می‌توان براساس میزان اشغال شدن موقعیت X، به سه گروه اصلی تورمالین‌های قلیایی، تورمالین‌های کلسیمی و تورمالین‌هایی که موقعیت X آن‌ها خالی یا اشغال نشده است، گروه‌بندی نمود (دارل و همکاران، ۲۰۱۱؛ یاوز و همکاران، ۲۰۰۲؛ هاتورن و هنری، ۱۹۹۹). تورمالین انتشار درون بلوری ناچیری نشان می‌دهد می‌تواند شرایط فیزیکی و شیمیایی محیط خود را ثبت کند و این اطلاعات را در دوره‌های زمانی زمین‌شناسی

شیمی تورمالین: فرمول عمومی تورمالین به صورت XY₃Z₆(T₆O₁₈) (BO₃)₃V₃W توسط عناصر زیر می‌توانند پر شوند (دارل و همکاران، ۲۰۰۲؛ یاوز و همکاران، ۲۰۰۲؛ هاتورن و هنری، ۱۹۹۹):

X = Ca, Na, K or vacant;

Y = Li, Fe²⁺, Mg, Mn, Al, Cr³⁺, Fe³⁺, V³⁺, Ti⁴⁺;

Z = Mg, Al, Fe³⁺, V³⁺, Cr³⁺;

T = Si, Al,

B = B, (vacant) ;

V = OH, O;

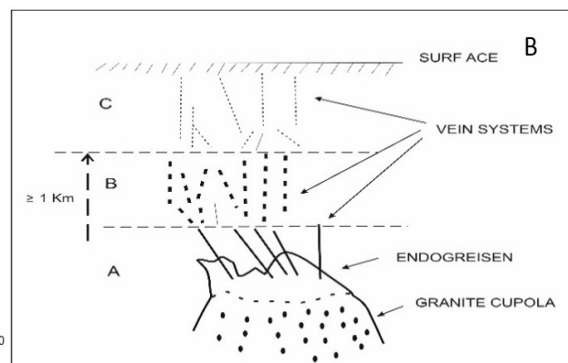
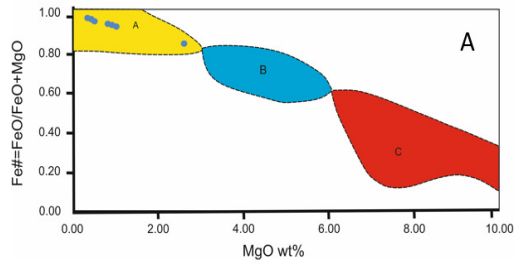
W = OH, F, O.

نوسان است. این پارامتر در خصوص تورمالین‌های با فاصله دورتر، کمتر از ۰/۶ خواهد بود که بر دگرنهادی بور با رسوبات سرشار از آلومینیوم به عنوان یک منشا خارجی دلالت دارد (هاتورن و هنری، ۱۹۹۹). توجه به اینکه مقدار Fe# برای بیشتر نمونه‌های مورد مطالعه بین ۰/۸۴ تا ۰/۹۷# و در قلمرو A این نمودار جای می‌گیرند (شکل ۵A)، فاصله دایک‌های پگماتوئیدی تورمالین‌دار، از منبع تغذیه‌کننده سیال آن‌ها حداقل ۱ کیلومتر می‌باشد (شکل B5) (بلکین و همکاران، ۱۹۹۹؛ ترامبول و چاووسیدان، ۲۰۰۷).

شیمی فلدسپارها: جهت تعیین ترکیب فلدسپارهای موجود در منطقه مورد مطالعه تعداد ۴ نمونه از پلاژیوکلазها و ۴ نمونه از فلدسپارهای الکالن انتخاب و تجزیه نقطه‌ای بر روی آن‌ها صورت گرفت و در جدول ۲ نتایج حاصل ارائه شده است. فرمول شیمیایی فلدسپارها بر اساس ۱۸ اکسیژن مورد محاسبه قرار گرفته است. در هر یک از محاسبات علاوه بر درصد اکسیدهای تشکیل دهنده کانی پلاژیوکلاز، درصد مشارکت کانی‌های آلبیت، آنورتیت و ارتوکلاز در ساختار فلدسپار نیز تعیین گردید (جدول ۲ و شکل A6).

همانطور که در جدول ۲ و شکل A6 قابل مشاهده است، ترکیب پلاژیوکلازها از نوع آلبیت با دامنه تعییرات محتوی آنورتیت ۰/۰ تا ۰/۸ درصد و فلدسپارهای الکالن با محتوای ارتوکلاز ۹۳/۹۲ تا ۹۶/۷۴ درصد ارتوز است.

حفظ کند (احمدی بنکدار و همکاران، ۲۰۲۲). براساس تقسیم‌بندی فوق، ترکیب تورمالین‌های مورد مطالعه (جدول ۱) به سبب فراوانی Na+K در مقایسه با کلسیم و فضای خالی در موقعیت X آن‌ها از نوع تورمالین‌های قلیایی محسوب می‌گردد. ترکیب شیمیایی تورمالین در دایک‌ها به طور معمول محلول جامد شورلیت-دراویت-فوئیتیت است و در منطقه مورد مطالعه به عضو انتهایی شورلیت-دراویت به ترکیب شورلیت تعلق دارد و این مسئله نشان دهنده غنی بودن محیط از عنصر آهن است. به نظر می‌رسد وجود سیال‌های آبدار غنی از بور با منشاء ماقمایی (ماگمایی مولد توده‌های گرانیتوئیدی) و سپس گرمایی مسیب احتمالی این نوسانات باشد (هاتورن و هنری، ۱۹۹۹). تورمالین‌هایی با ترکیب شورلیت در گرانیتها و پگماتیت‌ها معمول‌تر است، زیرا در طی تبلور تقریبی منیزیم از سیستم ماگمایی خارج می‌شود. با بررسی نسبت عدد آهن $\{Fe\} = FeO/(FeO + MgO)$ در برابر درصد وزنی MgO اظهار داشتند که تغییرات منظمی در مقدار $Fe\#$ نهشت‌های درون گرانیتی و سامانه‌های رگه‌ای که در فاصله دورتری از منبع گرانیتی جایگزین شده‌اند، وجود دارد (پیرانژینو و اسمیتزر، ۱۹۹۲). به طوری که این پارامتر (عدد آهن) با فاصله گرفتن از منبع تغذیه‌کننده سیال، کوچک‌تر می‌شود. میزان $Fe\#$ برای تورمالین‌هایی که در درون و نزدیک به توده و آن‌هایی که در سامانه‌های رگه‌ای و در فاصله نزدیک تا حدوداً مساوی یا بیشتر از ۱ کیلومتر) یافت می‌شوند به ترتیب ۰/۸-۰/۰ تا ۰/۶ در



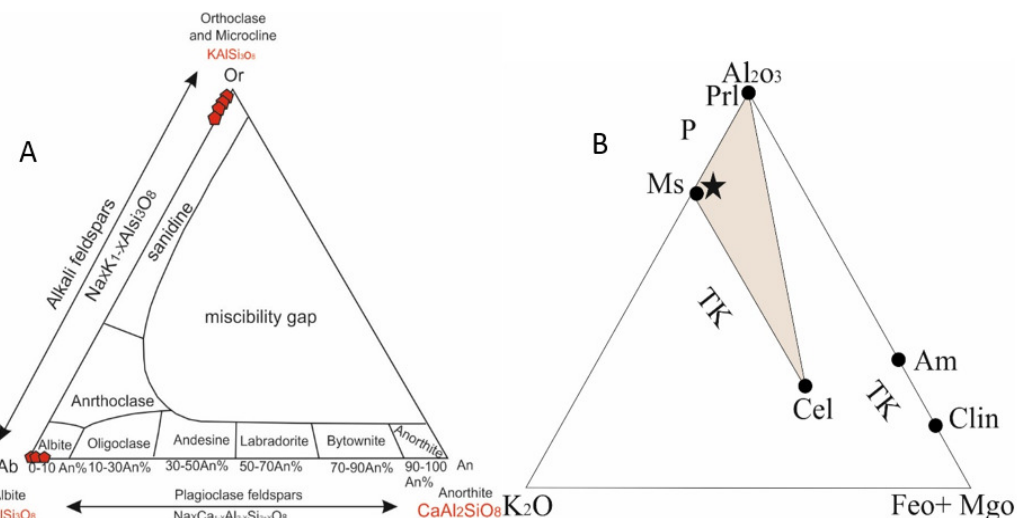
شکل ۵. نمودار نسبت $Fe\# / FeO + MgO$ (wt%) و موقعیت نمونه‌های مورد مطالعه در مقایسه با منبع تغذیه کننده (A) و مدل منبع تغذیه کننده و عمق آن در شکل گیری رگه‌های تورمالین‌دار (B) (پیرانژینو و اسمیتزر، ۱۹۹۲). عمدتاً نمونه‌های تورمالین‌های دایک‌ها در حوالی منبع ماقمایی توزیع شده‌اند.

Fig. 4. The diagram of the Fe# ratio against MgO (wt %) and the position of the studied samples in comparison with the source (A) and the model of the magmatic source supply and its depth in the formation of tourmaline-bearing veins(B) (Pirajino and Smithies, 1992). The tourmaline samples from the dikes are primarily distributed around the magmatic source.

جدول ۲. تجزیه نقطه‌های فلدسپارها در دایک‌های مورد مطالعه. عناصر اصلی بر حسب درصد وزنی می‌باشد. فلدسپار قلیایی = KF؛ پلاگیوکلاز = Pl

Table 2. Point analysis of feldspars in the studied dikes. Major elements are expressed as weight percentages. Alkali feldspar = KF; Plagioclase = Pl.

64.00	64.13	64.38	62.62	62.97	64.52	64.43	64.65	68.49	68.05	68.51	68.09	67.15	67.58	68.13
0.00	0.00	0.00	0.00	0.00	0.01	0.00	0.00	0.00	0.00	0.00	0.00	0.02	0.00	0.00
18.49	18.33	18.30	18.80	18.69	18.06	18.13	18.30	19.39	19.42	19.57	20.26	20.34	20.36	19.52
0.03	0.02	0.00	0.00	0.00	0.02	0.02	0.00	0.00	0.00	0.00	0.02	0.00	0.08	0.02
0.01	0.00	0.01	0.00	0.00	0.02	0.01	0.00	0.01	0.00	0.00	0.00	0.01	0.02	0.00
0.02	0.02	0.00	0.00	0.00	0.76	0.07	0.00	0.01	0.43	0.00	0.00	1.42	0.00	0.00
0.00	0.00	0.00	0.00	0.00	0.00	0.00	0.00	0.02	0.03	0.03	1.12	1.04	1.08	0.57
0.48	0.75	0.48	0.67	0.96	0.38	0.53	0.48	12.92	12.97	12.62	11.67	12.13	12.02	12.47
18.20	17.62	18.24	15.97	16.02	17.12	17.68	18.06	0.12	0.10	0.15	0.13	0.13	0.11	0.12
101.23	100.87	101.41	98.06	98.64	100.89	100.87	101.49	100.96	101.00	100.88	101.29	102.24	101.25	100.83
11.85	11.89	11.89	11.84	11.84	11.98	11.94	11.91	11.92	11.89	11.92	11.80	11.73	11.75	11.88
4.04	4.00	3.98	4.19	4.14	3.95	3.96	3.97	3.98	4.00	4.01	4.14	4.19	4.17	4.01
0.00	0.00	0.00	0.00	0.00	0.00	0.00	0.00	0.00	0.00	0.00	0.00	0.00	0.01	0.00
0.00	0.00	0.00	0.00	0.00	0.00	0.00	0.00	0.00	0.01	0.01	0.21	0.19	0.20	0.11
0.17	0.27	0.17	0.25	0.35	0.14	0.19	0.17	4.36	4.39	4.26	3.92	4.11	4.05	4.21
4.30	4.17	4.30	3.85	3.84	4.06	4.18	4.25	0.03	0.02	0.03	0.03	0.03	0.02	0.03
0.00	0.00	0.00	0.00	0.00	0.00	0.00	0.00	0.00	0.00	0.00	0.00	0.00	0.00	0.00
20.37	20.33	20.35	20.12	20.18	20.13	20.27	20.31	20.29	20.32	20.22	20.10	20.25	20.21	20.24
0.00	0.00	0.00	0.00	0.00	0.00	0.00	0.00	0.08	0.13	0.13	5.00	4.49	4.70	2.45
3.85	6.08	3.85	5.99	8.35	3.26	4.36	3.88	99.31	99.37	99.09	94.31	94.84	94.73	96.94
96.15	93.92	96.15	94.01	91.65	96.74	95.64	96.12	0.61	0.50	0.77	0.69	0.67	0.57	0.61



شکل ۶. نمودارهای مثلثی فلدسپارها که در آن توزیع نمونه‌های مورد را در قلمرو ارتوکلаз و آلبیت نشان می‌دهد (A)، بیانگر ترکیب مسکویتی میکاهای مورد مطالعه (علامت ستاره) در دایک‌های پگماتوتئیدی است (B).

Fig. 6. Triangular diagrams of feldspars showing the distribution of the samples within the orthoclase and albite fields (A), muscovite, which represents the composition of the studied muscovite micas (indicated by the star symbol) in the pegmatitic dike (B).

(B6) ترکیب میکای سفید موجود در منطقه، از نوع مسکویت و عضو نهایی سلادونیت-مسکویت می‌باشد.

شیمی مسکویت: نتایج تجزیه نقطه‌ای ۳ نمونه میکا (مسکویت) در جدول ۳ آمده است. فرمول مسکویت براساس ۲۲ اکسیژن محاسبه شده است. با توجه به شکل

جدول ۳. تجزیه نقطه‌ای میکاهای دایک‌های پگماتوئیدی. عناصر اصلی بر حسب درصد وزنی می‌باشد. مسکویت = Mus.

Table 3. Point analysis of micas in the pegmatitic dikes. Major elements are expressed as weight percentages. Muscovite = Mus.

	Mus.						
Point No.	1.1	2.1	3.1	4.1	9.1	10.1	11.1
SiO₂	47.20	46.62	47.60	47.52	47.51	46.86	46.98
TiO₂	0.00	0.02	0.01	0.02	0.04	0.03	0.04
Al₂O₃	36.63	35.69	36.22	36.23	36.28	36.13	36.31
FeO	1.96	1.86	1.85	2.24	1.75	1.43	1.21
MnO	0.09	0.08	0.09	0.08	0.06	0.03	0.04
MgO	0.00	0.07	0.01	0.05	0.14	0.09	0.20
CaO	0.01	0.01	0.01	0.06	0.01	0.01	0.01
Na₂O	0.68	0.71	0.61	0.43	0.44	0.39	0.00
K₂O	11.23	11.17	11.33	11.38	11.36	11.37	11.25
Total	97.79	96.24	97.73	98.01	97.59	96.34	96.04
normalized oxygens	22.00	22.00	22.00	22.00	22.00	22.00	22.00
Si	6.15	6.18	6.21	6.19	6.20	6.19	6.20
Ti	0.00	0.00	0.00	0.00	0.00	0.00	0.00
Al	5.63	5.58	5.57	5.56	5.58	5.62	5.65
Fe	0.21	0.21	0.20	0.24	0.19	0.16	0.13
Mn	0.01	0.01	0.01	0.01	0.01	0.00	0.00
Mg	0.00	0.01	0.00	0.01	0.03	0.02	0.04
Ca	0.00	0.00	0.00	0.01	0.00	0.00	0.00
Na	0.17	0.18	0.15	0.11	0.11	0.10	0.00
K	1.87	1.89	1.88	1.89	1.89	1.91	1.89
Sum	14.05	14.06	14.03	14.03	14.01	14.01	13.92
Fe/(Fe+Mg)	1.00	0.94	0.99	0.96	0.88	0.90	0.77
Al iv	1.85	1.82	1.79	1.81	1.80	1.81	1.80
Al vi	3.79	3.76	3.77	3.75	3.78	3.81	3.85
Al vi (Mg+Fe)	17.71	17.08	18.53	14.79	17.32	21.69	22.25
T1: Si	2.00	2.00	2.00	2.00	2.00	2.00	2.00
T2: Si	1.08	1.09	1.10	1.10	1.10	1.09	1.10
T2: Al	0.92	0.91	0.90	0.90	0.90	0.91	0.90
Sum T2	2.00	2.00	2.00	2.00	2.00	2.00	2.00
Ti	0.00	0.00	0.00	0.00	0.00	0.00	0.00
Mn	0.00	0.00	0.00	0.00	0.00	0.00	0.00
M2: Al	1.89	1.88	1.89	1.88	1.89	1.90	1.92
M2: Mg	0.00	0.01	0.00	0.00	0.01	0.01	0.02
rest Mg	0.00	0.00	0.00	0.00	0.00	0.00	0.00
M2: Fe	0.10	0.10	0.10	0.11	0.09	0.08	0.05
Sum M2	2.00	2.00	1.99	2.00	2.00	2.00	2.00
M1: Al	0.00	0.00	0.00	0.00	0.00	0.00	0.00
M1: Mg	0.00	0.00	0.00	0.00	0.00	0.00	0.00
M1: Fe	0.00	0.00	0.00	0.01	0.00	0.00	0.01
Sum M1	1.00	1.00	1.00	1.00	1.00	1.00	1.00
A: K	0.93	0.94	0.94	0.95	0.95	0.96	0.95
A: Na	0.09	0.09	0.08	0.05	0.06	0.05	0.00
A: Ca	0.00	0.00	0.00	0.00	0.00	0.00	0.00
Sum A	1.02	1.04	1.02	1.00	1.00	1.01	0.95
Muscovite%	0.83	0.83	0.83	0.82	0.83	0.86	0.85
Paragonite%	0.08	0.08	0.07	0.05	0.05	0.04	0.00

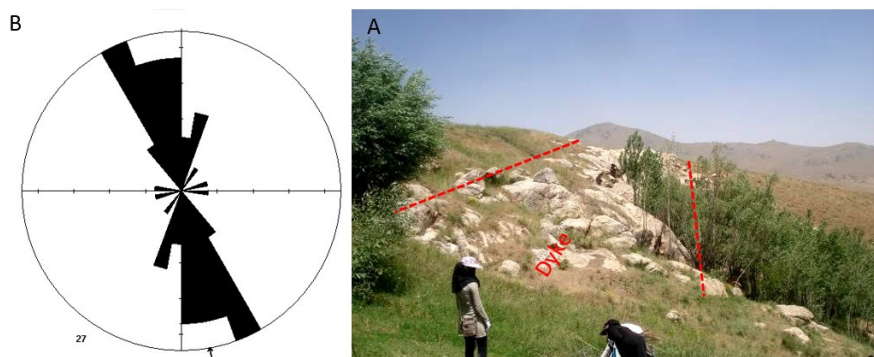
ارائه دهد. دایک‌ها زمانی شکل می‌گیرند که مانع تحت فشار بالا به داخل شکاف‌های سنگ‌های میزبان تزریق می‌شود. نسبت ابعادی بالا (نسبت طول به ضخامت زیاد) نشان‌دهنده‌ی آن است که مانع تحت فشار بالا و در شرایطی با مقاومت سنگی بیشتر به صورت دایک طویل و نازک تزریق شده است، حال آنکه نسبت ابعادی پایین‌تر ممکن است نشان‌دهنده‌ی سنگ‌های میزبان نرم‌تر و با مقاومت کمتر باشد. این نسبت در دایک‌های منطقه مقداری بین ۹ تا ۲۴۳ متغیر و مقدار متوسط آن ۸۷ است که نسبت ابعادی کم را نشان می‌دهد، این مسئله ممکن است به دلیل نزدیکی دایک‌ها به سطح و شرایط الاستیک ضعیفتر سنگ میزبان مربوط باشد (دادا و همکاران؛ ابدولین و همکاران، ۲۰۲۴).

۵- ویژگی‌های ساختاری دایک‌ها و نسبت ابعادی
امتداد کلی دایک‌ها اغلب راستای شمال باخته- جنوب خاور، شمال- جنوب و برخی روند شمال خاور- جنوب باخته دارند. روند این دایک‌ها اغلب مستقیم است اما برخی از دایک‌ها امتدادشان تغییر می‌کند. شبیه دایک‌ها متفاوت و از شبیه کم تا تقریباً قائم متغیر است. ضخامت دایک‌ها و طول آن‌ها نیز نوسان دارد (جدول ۴). بیشترین ضخامت حدود ۱۳ متر و بلندترین دایک طول ۱۰۲۳ متر است. نسبت ابعادی دایک^۱ از نسبت طول دایک به ضخامت دایک (مقدار بازشده‌گی) به دست می‌آید و یکی از معیارهای مهم در تحلیل رفتار دایک‌ها است (کیوسموتو و همکاران، ۲۰۱۳). این نسبت می‌تواند اطلاعات ارزشمندی در مورد فشارهای درونی مانع و خواص مکانیکی سنگ‌های میزبان

جدول ۴. ویژگی ظاهری دایک‌های بزرگ منطقه

Table 4. Physical characteristics of the large dikes in the area

Dike number	E-dike center	N-dike center	L(m)	W(m)	H(m)	strike	dip	Aspect ratio
1	48.674914°	34.608167°	974	4	86	343	90	243
2	48.680441°	34.599325°	284	1.4	27	359	90	202
3	48.683438°	34.597448°	287	1.49	34	347	90	192
4	48.688794°	34.586198°	69	3.36	-	339	90	20
5	48.690120°	34.587374°	117	3.87	-	338	90	30
6	48.702119°	34.593836°	267	4.67	-	339	90	57
7	48.700556°	34.601152°	1007	12	-	332	90	83
8	48.699662°	34.624907°	160	2.16	36	005	90	74
9	48.701606°	34.626078°	221	2	43	012	90	110
10	48.692023°	34.620793°	135	11	7	354	90	12
11	48.691937°	34.620024°	170	13	28	333	90	13
12	48.691128°	34.619843°	99	1.73	16	260	60	57
13	48.691639°	34.619379°	101	2.38	23	212	70	42



شکل ۷. (A) نمایی از دایک پگماتیکی (دید به سمت شمال باخته)، (B) نمودار روز امتداد دایک‌های منطقه، n=27.
Fig. 7. A) View of a pegmatitic dike (looking northwest), B) Rose diagram of the dike orientations in the area, n=27.

¹ Aspect ratio

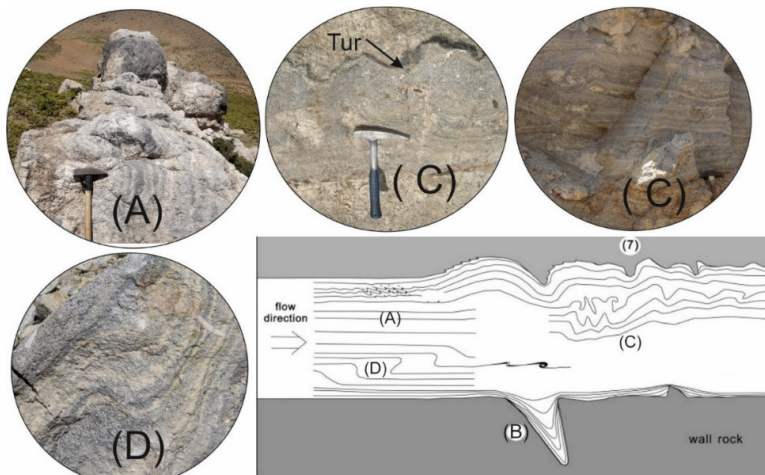
یا وزیکول‌ها (حباب‌های گاز) ایجاد می‌کند که موازی دیواره دایک‌ها قرار می‌گیرند. همچنین ساختارهایی در سطح خارجی دایک مانند خطوط‌های حرارتی و ساختارهای فرسایشی، به خاطر تعامل با سنگ دیواره تشکیل می‌شود که به آن فابریک خارجی می‌گویند (تیان و شان، ۲۰۱۴).

۶- فابریک داخلی دایک‌ها

فابریک‌های داخلی دایک‌ها به دو گروه فابریک‌های ماقمایی و فابریک‌های تکتونیکی تقسیم می‌شود. فابریک‌های ماقمایی در هنگام تبلور ماقما و جریان آن به داخل دایک تشکیل می‌شود (شکل ۸) (تیان و شان، ۲۰۱۴).

۶- فابریک دایک‌ها

دو نوع فابریک داخلی و خارجی در ارتباط با دایک‌ها شکل می‌گیرد که به عنوان ساختارهای جریان ماقما معرفی شده‌اند. فابریک داخلی ماقما که اطلاعاتی در مورد دینامیک جایگیری دایک‌ها، مانند جهت جریان ماقما، ویسکوزیته آن و سرعت خنک شدن می‌دهد و شامل بافت نواری، انواع چین‌ها (چین‌های تزریقی، غلافی، چین‌های مشابه و ناهمانگ)، چرخش فنوکریست‌ها، جهت‌یابی انکلواها، برگوارگی یا خطوط‌های ماقمایی و کلیوژ کنگرهای است. این نوع ساختارها معمولاً نشان‌دهنده جریان لایه‌ای و در برخی موارد حتی جریان آشفته ماقما هستند. فابریک ماقمایی با جریان ماقما و متبلور شدن در داخل دایک شکل می‌گیرد و یک جهت‌یابی ترجیحی از بلورها، کانی‌ها



شکل ۸. انواع فابریک‌های بافت نواری (تیان و شان، ۲۰۱۴) مشاهده شده در دایک‌های منطقه: جریان لایه‌ای (A)، چین‌های ناهمانگ (C)، چین‌های بین لایه‌ای (D).

Fig. 8. Types of Magmatic banding (Tian and Shan, 2014) observed in the dikes of the area: Laminar flow (A), and disharmonic fold (C), interlayerd fold (D).

و چین‌های برشی یا بین لایه‌ای^۴ (شکل ۸) نشان می‌دهند که حاکی از آشفتگی‌های محلی جریان ماقما است. تناوب در تبلور و عدم تبلور تورمالین باعث ایجاد ساخت نواری می‌شود، با تبلور تورمالین، تمرکز عناصر دو طرفیتی و بور در ماقما کاهش می‌یابد و تازمانی که در اثر کاهش دما تمرکز این عناصر بالا نرود تبلور تورمالین متوقف می‌شود (راکلن و همکاران، ۱۹۸۷؛ ویر و همکاران، ۱۹۹۷).

فابریک ماقمایی: از فابریک‌های ماقمایی مهم در دایک‌های منطقه می‌توان به بافت نواری و بافت شانهای اشاره کرد. بافت نواری^۱ در آپلیت‌ها بصورت توالی از لایه‌های تیره و روشن دیده می‌شود. نوارهای روشن اغلب غنی از مسکوویت و پلاژیوکلаз بوده، در حالی که نوارهای تیره غنی از تورمالین‌های ریز و بی‌شکل و حاوی فلدسپار پتاسیم هستند. این نوارها موازی دیواره دایک هستند (شکل A8) و جریان لایه‌ای^۲ ماقما را نشان می‌دهند و گاهی ساختارهایی مثل چین‌های ناهمانگ^۳ (شکل C8)

³ Disharmonic fold

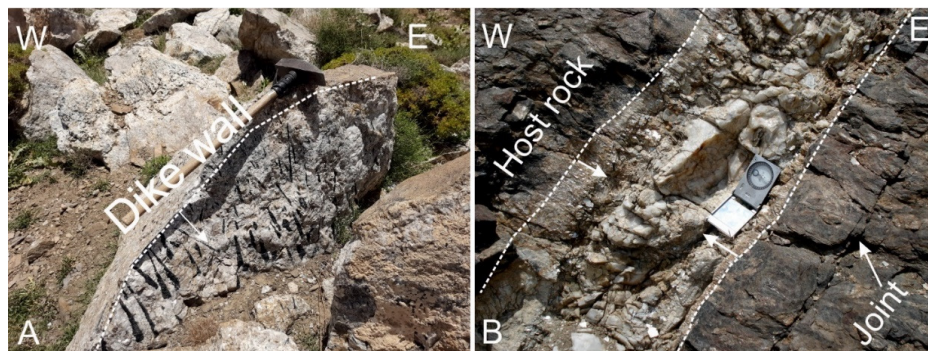
⁴ Interlayerd fold

¹ Magmatic banding

² Laminar flow

متوسط باشد اندازه بلورها به سمت مرکز دایک یا رگه بیشتر شده و کانی‌های هم بعد به سمت مرکز شکل می‌گیرند. در صورتی که باز شدن دیواره‌ها بسیار سریع باشد، سیال ماقمایی یا هیدروترمال نمی‌تواند به سرعت با دیواره‌ها تعادل حرارتی برقرار کند و تبلور به صورت سریع و نامنظم اتفاق می‌افتد. در این شرایط احتمال تشکیل بافت شانه‌ای کاهش می‌یابد و بافت‌های دیگری مانند افینیتیک یا پورفیری ممکن است غالب شوند (پاشیرو و ترو، ۲۰۰۵). در دایک‌های منطقه رشد کانی‌هایی مثل کوارتز، تورمالین و میکا به صورت عمود بر دیواره دایک نشان می‌دهد (شکل A۹) ابتدا فضا برای تزریق باز شده و سپس ماقمای نفوذ کرده است و سرعت سرد شدن ماقمای کند بوده است به طوریکه در حاشیه دایک بلورهای دراز و طویل شده کوارتز، مسکویت و فلدسپار بصورت متقارن قرار گرفته‌اند و به سمت مرکز دایک رشد کرده‌اند و در مراحل پایانی سیال غنی از کوارتز متبلور شده است (شکل B۹).

بافت نواری برگوارگی ماقمایی را ایجاد می‌کند که معمولاً موازی یا نیمه‌موازی با دیواره دایک است. گاهی در اثر جریان ماقمای از سنگ‌های میزان قطعاتی جدا می‌شود و در داخل ماقمای افتاد که به این قطعات زینولیت می‌گویند. در دایک‌های منطقه زینولیت‌های از شیسته‌های میزان جدا شده و در اثر نیروی جریان ماقمای به مواد دیواره دایک‌ها جهت‌یابی یافته‌اند. بافت شانه‌ای^۵ یک نوع بافت بلورین است که معمولاً به صورت رشد بلورهای کشیده و موازی در نزدیک دیواره‌های دایک یا رگه دیده می‌شود (شکل ۹). این بافت نتیجه فرآیندهای تبلور در شرایط خاص است و معمولاً نشان‌دهنده رشد بلورها از دیواره‌های دایک یا رگه به سمت مرکز آن است. یکی از عوامل مهم شکل‌گیری این بافت نرخ باز شدن دیواره‌های دایک و سرعت سرد شدن ماقمای است. اگر نرخ باز شدن دیواره‌ها کم باشد سیال ماقمایی یا هیدروترمال فرصت کافی برای انتقال حرارت و کاهش تدریجی دما دارد. این شرایط به رشد منظم و جهت‌دار بلورها کمک می‌کند و بافت شانه‌ای ایجاد می‌شود. اگر نرخ باز شدن دیواره‌ها



شکل ۹. رشد بلورهای تورمالین بصورت عمود بر دیواره دایک (A)، رشد بلورهای کوارتز و مسکویت بصورت بلورهای طویل شده عمود بر دیواره دایک (B)، همانطور که در تصویر مشخص است اندازه بلورها از سمت مرکز آن بزرگ‌تر می‌شود و دایک موازی درزهای موجود در سنگ میزان شکل گرفته است. جهت پیکان جهت رشد و تبلور بلورها را نشان می‌دهد.

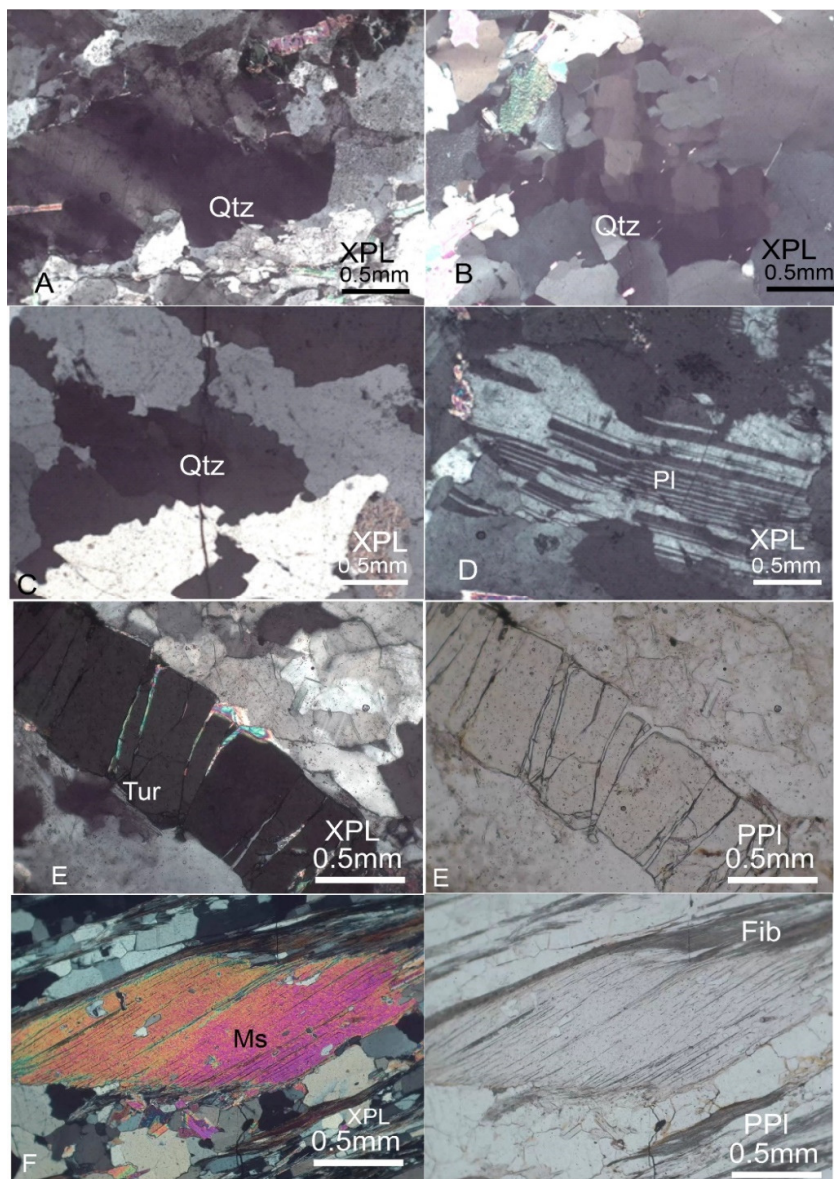
Fig. 9. Growth of tourmaline crystals normal to the dike wall (A), growth of quartz and muscovite crystals as elongated crystals normal to the dike wall (B). As shown in the images, the size of the crystals increases from the dike wall toward its center, and the dike is formed parallel to the existing fractures in the host rock. The arrows indicate the direction of crystal growth and crystallization.

به سنگ‌های میزان مقاوم‌تر می‌شوند. این موضوع منجر به ایجاد اختلاف رئولوژیکی در طی دگرشکلی می‌شود (به عنوان مثال، دروغت و همکاران، باتلر و تورولا، ۲۰۱۸ و آلسوب و همکاران) و دایک‌های آذرین فلسيک ساختارهای متنوعی مانند چین‌های ناهمنگ، بوديناز و ميلونيتی شدن را نشان می‌دهند (پاپشی و همکاران، ۲۰۲۲).

فابریک‌های تکتونیکی

بعد از سرد شدن ماقمای یا هنگام تزریق ماقمای به درون شکستگی‌های برشی، فابریک‌های تکتونیکی یا فابریک‌های حالت جامد در دایک ایجاد می‌شود (شکل ۱۰) (پاپشی و همکاران، ۲۰۲۲). سنگ‌های آذرین ورقه‌ای مانند دایک، سیل و رگه‌های پگماتیتی به سرعت خنک می‌شوند و قبل از آنکه استرین قابل توجهی در آن‌ها متمرکز شود، نسبت

^۵ Comb texture



شکل ۱۰. فابریک‌های تکتونیکی در داخل دایک‌ها، خاموشی موجی (A) و خاموشی شطرنجی (B)، تبلور مجدد دینامیکی از نوع GBM (C) ماکل دگریختی پلاژیوکلاز (D)، ریزشکستگی‌های کششی تورمالین (E) و ساختار میکماهی مسکویت (F).

Fig. 10. Tectonic fabrics within the dikes, including undolus extinction (A) and chessboard extinction (B), dynamic recrystallization of the GBM type (C), deformation twinning of plagioclase (D), transverse micro-fractures in tourmaline (E), and micafish structure of muscovite (F).

خاموشی موجی نشان‌دهنده تغییر شکل درون بلوری از نوع شکل‌پذیر است که علاوه بر کانی کوارتز در فلدسپار و مسکویت به وفور دیده می‌شود. خاموشی شطرنجی فابریک خاصی با زیردانه‌های^۱ مربعی شکل است که در درجه حرارت بالای ۷۰۰ درجه در کوارتز شکل می‌گیرد (پاشیرو و ترو، ۲۰۰۵). تبلور مجدد از نوع مهاجرت مرز دانه^۲ (GBM) نمایانگر حرارت بالا و نرخ استرین کم است. این

در بررسی میکروسکوپی و حتی در نمونه دستی بافت و ساختهای جالب و متنوعی تکتونیکی را در دایک‌های منطقه می‌توان مشاهده کرد که در شرایط دگرگشکلی حالت جامد ایجاد شده‌اند. خاموشی موجی (شکل A1۰)، خاموشی شطرنجی (شکل B1۰)، باز تبلور دینامیکی از نوع مهاجرت مرز دانه (شکل C1۰) در مقاطع میکروسکوپی دایک‌های منطقه در بلورهای کوارتز به وفور دیده می‌شود.

² Grain boundary migration

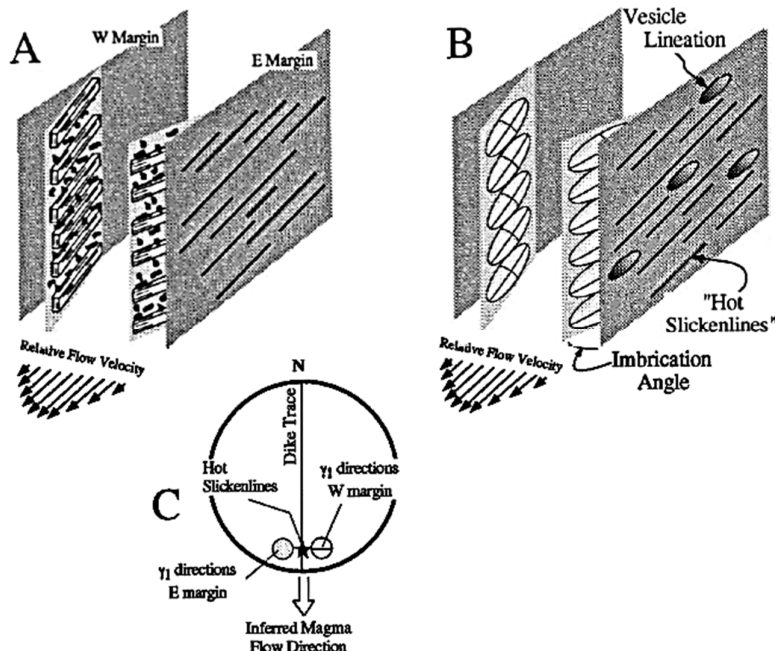
¹ Subgrain

فیبرولیت، سیلیمانیت و هورنبلنید در مرز دیواره دایک‌ها نشان‌دهنده دمای بالای دایک‌ها نسبت به سنگ میزان است (کریک، ۱۹۸۷؛ بهرامنژاد و همکاران، ۲۰۲۲).

۲-۶- فابریک خارجی دایک‌ها

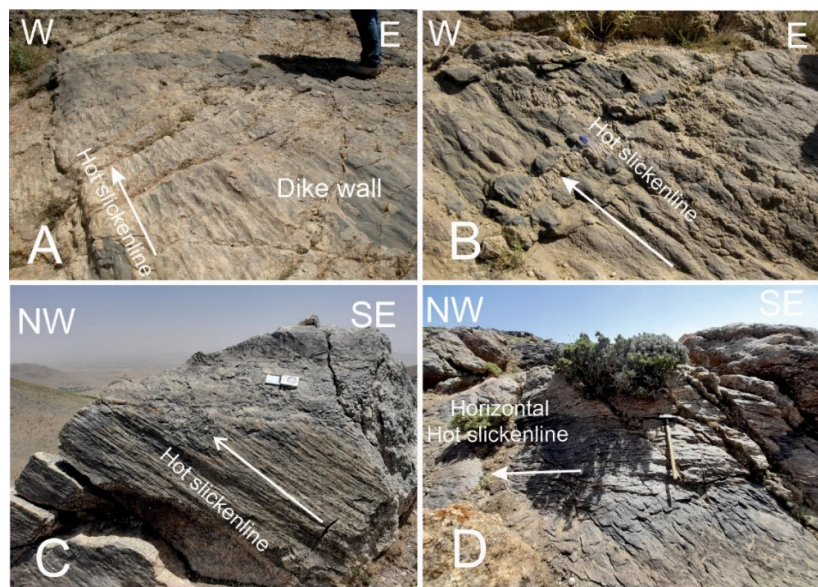
خطواره‌های داغ^۳ که بر سطوح خارجی دیواره دایک شکل می‌گیرند، رفتار مکانیکی دایک گرم و سنگ میزان سرد را نشان می‌دهند. این خطواره‌ها از نشانگرهای جهت حرکت مagma در داخل شکاف هستند (تبیان و شان، ۲۰۱۳) (شکل ۱۱). این خطواره‌های داغ شامل مجموعه‌ای از برآمدگی‌ها و شیارهای موازی با سطح مسطح به عرض ۱ تا ۵ سانتی‌متر و با دامنه چند سانتی‌متر یا کمتر هستند (شکل A12). این برجهستگی‌ها و شیارها مستقیم یا کمی خمیده به طول چند ده سانتی‌متر تا چند متر یا بیشتر هستند (شکل ۱۲B). این خطواره‌ها در یکی از دایک‌های بزرگ منطقه در نزدیکی روستای تکمه داش شیب حدود ۳۵ درجه دارد (شکل C12) و در دایک دیگری (در شمال دایک اشاره شده) تقریباً افقی است (شکل D12).

پدیده در مرزهای بلورها و در حرارت بالا رخ می‌دهد، بدین صورت که بلورهایی که در کنار یکدیگر قرار می‌گیرند همگی دارای چگالی جابه‌جایی بالایی هستند در نتیجه بلورها شروع به تغییر مرز خواهند و در نتیجه بلورهایی با مرزهای مضرسی و بدون خاموشی موجی پدید می‌آید (پاشیرو و ترو، ۲۰۰۵). شواهد تغییر شکل پلازیوکلاز بصورت ماکل دگرشکلی، خمش، شکستگی و جابجایی ماکل پلی‌ستنتیک مشاهده می‌شود (شکل D10). دوقلویی دگریختی در قسمت‌های با کرنش بالا مثل حاشیه‌ها یا در جاهایی که بلورها با یکدیگر تماس دارند تشکیل می‌شود (پاشیرو و ترو، ۲۰۰۵). بلورهای تورمالین اغلب تغییر شکل شکنا و ساختار ریز گسل و بودیناژ را نشان می‌دهند (شکل E10) اما برخی بلورهای تورمالین در پهنه‌های برشی و دایک‌های میلونیتی شده تغییر شکل پذیر نشان می‌دهند. مسکویت‌ها در مقاطع میکروسکوپی جهت یافته‌گی، خاموشی موجی و خمیدگی رخ نشان می‌دهند. در برخی دایک‌ها مسکویت‌ها حرکات برشی نشان می‌دهند و از اطراف به فیبرولیت تبدیل می‌شوند و به شکل میکاماهی نشانگر سوی برش را ایجاد کرده‌اند (شکل F10). رشد



شکل ۱۱. تشکیل خطواره‌های داغ روی دیواره‌های خارجی دایک (وارگا و همکاران، ۱۹۹۸)
Fig. 11. Formation of hot lineations on the outer walls of the dike (Varga et al., 1998)

^۳ Hot slickenline



شکل ۱۲. نمونه‌هایی از فابریک خطواره‌های داغ که بر دیواره دایک‌ها شکل گرفته است، خطواره با زاویه میل مختلف اغلب جهت شمال باخت را نشان می‌دهند، خطواره‌های تقریباً افقی (A, B, D) و خطواره شیبدار (C).

Fig. 12. Examples of hot slickenline fabric developed on the walls of the dikes, hot slickenlines showing various plunging often trending northwest, the nearly horizontal hot slickenline (A, B, D) and the oblique hot slickenline (C) are illustrated.

نوع دایک‌ها جایگیری غیر فعال دایک‌ها را نشان می‌دهد که نقش فشار ماقما در شکل‌گیری و ایجاد فضای جدید کم بوده است.

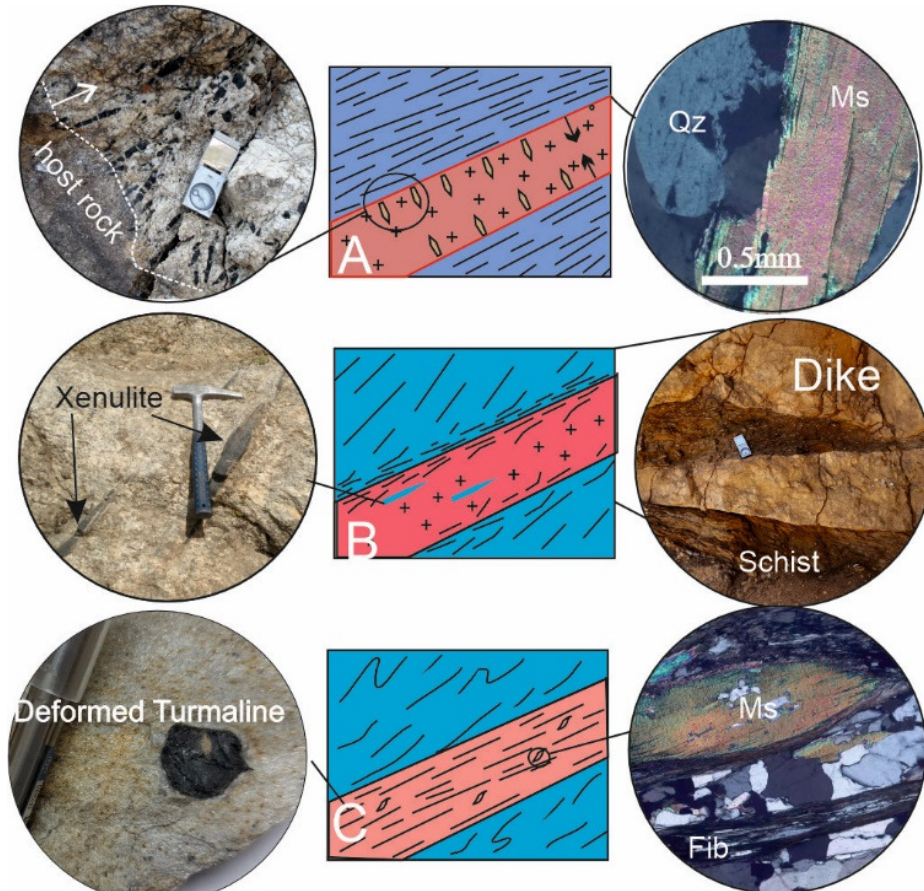
نوع دوم دایک‌های فعال و با دگرشکلی متوسط هستند (شکل ۱۳). در این نوع دایک‌ها دگرشکلی در مرز بین دایک و سنگ میزان تمرکز یافته است. در این نوع بلورهای سنگ میزان مانند مسکوپیت‌ها و سیلیمانیت و آندالوزیت‌ها در نزدیکی دایک‌ها چرخیده‌اند و موازی دیواره دایک قرار گرفته‌اند. در این نوع دایک‌ها، جریان ماقما قوی بوده و فابریک داخلی یا همان بافت نواری، موازی دیواره دایک قرار گرفته است. این نوارهای ماقمایی اغلب منظم و موازی دیواره دایک، جریان لایه‌ای ماقما را نشان می‌دهند. همچنین انکلاوهایی از جنس شیست از سنگ میزان کنده شده و هم جهت با دیواره دایک قرار گرفته‌اند. فشار ماقما در شکل‌گیری این نوع دایک‌ها نقش موثری داشته است و فشار ماقما تا حدی بالا بوده که توانسته است بلورهای سنگ میزان و انکلاوها را با خود همسو کند و بافت نواری را نیز ایجاد کند. نوع سوم دایک‌های میلونیتی شده هستند (شکل ۱۳). این نوع دایک‌ها کاملاً دگرشکلی حالت جامد را نشان می‌دهند و برگوارگی میلونیتی و خطواره کششی در آن‌ها شکل گرفته است. در این دایک‌ها

۷- بحث

مطالعه فابریک‌های ماقمایی و تکتونیکی در درک تاریخچه تشکیل و تکامل دایک‌های پگماتوئیدی اهمیت ویژه‌ای دارد. فابریک‌های ماقمایی اطلاعاتی در مورد جریان و نحوه تبلور ماقما ارائه می‌دهند و فابریک‌های تکتونیکی اثرات تنش‌های زمین‌ساختی را در حین یا پس از جایگیری دایک را نشان می‌دهند. ترکیب این اطلاعات می‌تواند به فهم بهتر ژنز دایک‌ها و ارتباط آن‌ها با فرآیندهای ماقمایی و زمین‌ساختی کمک کند. با توجه به مشاهدات صحرایی و مطالعات میکروسکوپی دایک‌های منطقه از نظر دگرشکلی سه نوع هستند. نوع اول دایک‌های اتساعی، نوع دوم دایک‌های فعال و نوع سوم دایک‌های میلونیتی تقسیم‌بندی کرد. در دایک‌های نوع اول (شکل ۱۳) دیواره‌های دایک با نرخ کم باز شده‌اند و بلورها از سمت دیواره شروع به تبلور در جهت تنفس کمینه (محور ۵۳) می‌کنند. در اغلب دایک‌ها تورمالین‌هایی که عمود بر دیواره دایک هستند بودین شده‌اند و این موضوع نشان می‌دهد که بازشدگی دایک همچنان تداوم داشته است و باعث شکسته شدن و بودین شدن بلورهای تورمالین شده است. همچنین پر شدگی فضای بین شکستگی‌های تورمالین با کانی‌هایی مثل کوارتز و فلدسپار، نشان می‌دهد که سیال ماقمایی در منطقه هنوز حضور داشته است. همچنین این

تایید می‌کنند. بلورهای تورمالین در دایک‌های میلونیتی شده، تغییر شکل پذیر را نشان می‌دهند. تورمالین به عنوان کانی مقاوم می‌تواند در گستره دمایی وسیعی از رخساره شیست سبز^۱ تا آمفیبولیت^۲ پایدار باشد و مرز تبدیل رفتار شکنا به شکل پذیر این کانی بالا و حدوداً ۵۰۰ درجه سانتی گراد است.

بلورهای مسکویت خاموشی موجی دارند و از اطراف به فیبرولیت و سیلیمانیت تبدیل شده‌اند. تبدیل مسکویت به فیبرولیت و سیلیمانیت دمای بالای دگرشكلى را نشان می‌دهد. همچنین نشانگرهای دیگری همچون تبلور مجدد از نوع مهاجرت مرzedane (GBM) و خاموشی شطرنجی دمای حداقل ۷۰۰ درجه دگرشكلى را



شکل ۱۳. انواع دایک بر اساس فابریک‌های داخلی و خارجی، دایک‌های انساعی و رشد بلورها به صورت عمود بر دیواره دایک (A)، دایک‌های فعال با جهت بایی بلورهای سنگ میزبان و انکلاوهای درون دایک موازی دیواره دایک‌ها (B)، دایک‌های میلونیتی شده (C)

Fig. 13. Types of dikes based on internal and external fabrics. Extensional dikes with normal crystal growth to the dike wall (A), active dikes with the orientation of host rock crystals and enclaves parallel to the dike walls (B), and mylonitized dikes (C)

توجه به اینکه مقدادیر عدد آهن (#Fe) و اکسید منیزیم، نمونه‌ها در فاصله نزدیکی از منبع تغذیه کننده سیال آن‌ها قرار داشته‌اند. بر اساس شواهد ساختاری و مطالعات میکروسکوپی سه نوع دایک در منطقه حضور دارند. دایک‌های نوع اول (دایک‌های انساعی) هم‌شیب با برگوارگی سنگ میزبان و شکستگی‌های قدیمی هستند و بیانگر این موضوع است که مسیر این دایک‌ها از انیزوتربوبی

۸- نتیجه‌گیری

در منطقه جنوب خاور همدان دایک‌های با روندهای اصلی شمال‌باخته - جنوب‌خاور، شمال - جنوب و شمال‌خاوری - جنوب‌باخته شکل گرفته‌اند. ترکیب غالب دایک‌ها پگماتوئیدی و متتشکل از کانی‌های کوارتز، پلاژیوکلازهایی با ترکیب آلبیت، پتاسیم فلدسپار از نوع ارتوکلاز، مسکویت و تورمالین هستند و ضخامت و طول آن‌ها متغیر است.

² Amphibolite

¹ Greenschist

- an extensional regime, LITHOS 464–465, 107437.
- Badrazadeh, Z (2002) Petrology of Metamorphic Rocks in the Sarabi-Tuisarkhan Area with Special emphasis on the nature of Ultra-High-Grade Metamorphics. Msc Thesis, Earth Sciences Research Institute, 150 pp.
- Bahramzade, E., Bagheri, S., Damantu Gol, Sh, Arefnejad, M (2022) Investigating the tectonomagmatic origin of tourmaline in the felsic dikes of the Deh-Salm Metamorphic Complex, East of Lut block. Petrological Journal, 13 (3): 85-104.
- Berberian, M., Alavi, M (1977) Structural Analyses of Hamedan metamorphic tectonites: A paleotectonic discussion, geological survey Iran, 40: 263-279.
- Bleeken, G. V. D., Corteel, C., Haute, P. V. D (2007) Epigenetic to low-grade tourmaline in the Gdumont metaconglomerates (Belgium): A sensitive probe of its chemical environment of formation”, Lithos, 95 (2): 165–176.
- Butler, R. W., Torvela, T (2018) The competition between rates of deformation and solidification in syn-kinematic granitic intrusions: resolving the pegmatite paradox. J. Struct. Geol, 117: 1–13.
- Clemente, C. S., Amorós, E. B., Crespo, M. G (2007) Dyke intrusion under shear stress: Effects on magnetic and vesicle fabrics in dykes from rift zones of Tenerife (Canary Islands), 29 (12): 1931-1942.
- Currie, K. L., Ferguson, J (1970) The mechanism of intrusion of lamprophyre dykes indicated by “offsetting” of dykes. Tectonophysics, 9: 525-535.
- Das, A., Mallik, J (2020) Applicability of AMS technique as a flow fabric indicator in dykes: Insight from Nandurbar-Dhule Deccan dyke swarm. International Journal of earth Sience, 3: 933-944.
- Datta, S., Banerjee, S., Samal, A. K., Srivastava, R. K (2023) Aspect ratio analysis of distinct Paleoproterozoic mafic dyke swarms and related fracture systems in the Eastern Dharwar Craton, India: Implications for emplacement mechanism and depth of origin, Physics of the Earth and Planetary Interiors, 336: 106998.
- Delaney, P., Pollard, D. D (1981) Deformation of host rocks and flow of magma during growth of Minette dykes and breccia-bearing intrusions near Ship Rock, New Mexico. U.S. Geological Survey Professional Paper 1202, 61 p.
- Druguet, E., Castaño, L. M (2010) Analysis of syntectonic magmatic veins at the mesoscale. J. Geol. Soc. India, 75 (1): 60–73.
- Druguet, E., Czeck, D. M., Carreras, J., Castaño, L. M (2008) Emplacement and deformation features of syntectonic leucocratic veins from

عمومی سنگ میزبان تعیت کرده است. فابریک‌های داخلی مانند بافت شانه‌ای نشان می‌دهد نرخ باز شدن این شکستگی‌های قدیمی کم تا متوسط بوده و رشد از سمت دیواره به سمت مرکز صورت گرفته است. این دایک‌ها بر سنگ میزبان تاثیر زیادی نداشته اند ولی برخی دایک‌ها به صورت فعال (دایک‌های نوع دوم) نفوذ کرده‌اند و باعث تغییر و دگرسانی شیوه‌های میزبان گردیده‌اند. فشار ماقما در این نوع دایک‌ها بالا بوده و باعث همراستا شدن بلورهای سنگ میزبان و انکلاوهای داخل خود شده است. همچنین حضور بافت نواری تقریباً منظم و موازی دیواره دایک جریان خطی و منظم ماقما را نشان می‌دهد. دایک‌های نوع سوم بعد از شکل‌گیری مجدداً تحت تاثیر نیروهای دگرشکلی قرار گرفته‌اند و میلونیتی شده‌اند. شواهد بافتی و کانی‌شناسی، دمای بالای دگرشکلی (حدود ۷۰۰-۵۰۰ درجه سانتی‌گراد) در دایک‌های میلونیتی شده را نشان می‌دهد.

۹- سپاسگزاری

نویسنده‌گان مقاله از دانشگاه بوعلی سینا برای تامین بخشی از هزینه تهیه مقاطع میکروسکوپی و بازدیدهای صحرایی قدردانی می‌کنند. همچنین از مسئولین محترم و داوران محترم مجله که نظرات ارزشمندان باعث ارتقاء کیفی این نوشتار گردید سپاسگزاری می‌شود.

References

- Abdullin, R., Melnik, R., Rust, A., Blundy, J., Lgotina, E., and Golovin, V (2024) Ascent of volatile-rich felsic magma in dykes: a numerical model applied to deep-sourced porphyry intrusions, Geophysics, 236: 1863–1876.
- Ahmadi-Bonakdar, S., Tabatabaei Manesh, S. M. and Mirlohi, A (2023) Investigation on tourmaline occurrence in the metamorphic complex in the north of Golpayegan, Sanandaj-Sirjan Zone. Petrological Journal, 13 (4): 87-106.
- Alsop, G. I., Strachan, R. A., Holdsworth, R. E., Burns, I. M (2021) Geometry of folded and boudinaged pegmatite veins emplaced within a strike-slip shear zone: a case study from the Caledonian orogen, northern Scotland. J. Struct. Geol. 142: 104233.
- Azizi, H., Daneshvar, N., Rafat, Gh., Asahara, Y., K., Takehara, M., Kon, Y., Minami, M., Anma, R (2024) O-Hf isotope ratios of Alvand S-type granite, western Iran, reveal crustal melting in

- granitoid plutons in the northern Sanandaj–Sirjan Zone, Iran. *Journal of Asian Earth Sciences*, 41 (3): 238–249.
- McGuire, W. J., Pullen, A. D (1989) Location and orientation of eruptive fissures and feeder dykes at Mount Etna; influence of gravitational and regional stress regimes. *Journal of Volcanology and Geothermal Research*, 38: 325e344.
- Mehdipour-Ghazi, J and Moazzen, M (2015) Geodynamic evolution of the Sanandaj-Sirjan Zone, Zagros Orogen, Iran. *Turkish Journal of Earth Sciences*, 24: 513–28.
- Monfaredi, B., Hauzenberger, C., Neubauer, F., Schulz, B., Genser, J., Shakerardakani, F., Halama, R (2020) Deciphering the Jurassic–Cretaceous evolution of the Hamadan metamorphic complex during Neotethys subduction, western Iran, *International Journal of Earth Sciences*, 109: 2135–2168.
- Muller, J. R., Ito, G., Martel, S. J. (2001) Effects of volcano loading on dyke propagation in an elastic half-space. *Journal of Geophysical Research*, 106 (B6): 11101–11113.
- Pan, X., Shen, Z., Roberts, A. P., Heslop, D., Shi, L (2014) Syntectonic emplacement of Late Cretaceous mafic dyke swarms in coastal southeastern China: insights from magnetic fabrics, rock magnetism and field evidence, *Tectonophysics*, 637: 328–340.
- Papeschi, S., Mazzarini, F., Musumeci, G., Cruden, A. R (2022) Emplacement of a felsic dyke swarm during progressive heterogeneous deformation, Eastern Elba Dyke Complex (Island of Elba, Italy). *Journal of Structural Geology*, 159: 104600.
- Passchier, C. W., and Trouw, R. A (2005) *Microtectonics*. Springer Science & Business Media.
- Pirajino, F., Smithies, R. H (1992) The FeO / (FeO + MgO) ratio of tourmaline: A useful indicator of spatial variations in granite-related hydrothermal mineral deposits”, *Journal of geochemical explorations*, 42: 371–381.
- Pollard, D. D (1987) Elementary fracture mechanics applied to the structural interpretation of dykes. In: Halls, H. C., Fahrig, W. F. (Eds.), Geological Association of Canada Special Paper 34. *Mafic Dyke Swarms*, 5–24.
- Pollard, D. D., Muller, O. H., Dockstaeder, D. R (1975) The form and growth of fingered sheet intrusions. *Geological Society of America Bulletin*, 86: 351–363.
- Rochette, P (1987) Magnetic susceptibility of the rock matrix related to magnetic fabric studies. *Journal of Structural Geology*, 9 (8): 1015–1020.
- Rochette, P., Aubourg, C., (1991) Is this magnetic fabric normal? A review and case studies in volcanic formations, 307 (1-2): 219–234.
- Rockhold, J. R., Nabelek, P. I., Glascock, M. D (1987) Origin of rhythmic layering in the Rainy Lake zone (Western Superior Province, Canada). *Precambrian Res*, 163 (3–4): 384–400.
- Eghlimi, B (2000) Geological map of Hamadan with scale of 1/100,000. Geological Survey and Mineral Exploration of Iran, No, 5759.
- Ghasemi, A and Talbot, C. J (2006) A new tectonic scenario for the Sanandaj- Sirjan zone (Iran). *Journal of Asian Earth Sciences*, 26: 683–93.
- Gudmundsson, A (2000) Dynamics of volcanic systems in Iceland: Example of tectonism and volcanism at juxtaposed hot spot and mid-ocean ridge systems. *Annual Review Earth and Planetary Sciences*, 28: 107–140.
- Hassanzadeh, J and Wernicke, B. P (2016) The Neotethyan Sanandaj-Sirjan zone of Iran as an archetype for passive margin-arc transitions. *Tectonics*, 35: 586–621.
- Hawthorne, F. C and Henry, D. J (1999) Classification of the minerals of the tourmaline group”. *European journal of mineralogist*, 11: 201–215.
- Henry, D. J., Novák, M., Hawthorne, F. C., Ertl, A., Dutrow, B. L., Uher, P., and Pezzotta, F (2011) Nomenclature of the tourmaline-supergroup minerals. *American Mineralogist*, 96 (5-6): 895–913.
- Imanpouramin, A., Sarkarinejad, Kh (2021) Strutural significance of the Alvand mantled granite- gneiss dome exhumation within the Zagros hinterland fold and thrust belt, Iran, *International Journal of Earth Sciences*, 111: 195–214.
- Izadi Kian, L (2009) Structural and Petrofabric Analysis of Metamorphic Rocks in Alvand Mountain (South and Southwest of Hamadan). Ph. D Thesis, Shahid Beheshti University, 150 pp.
- Izadi Kian, L., Alavi, A., Mohajjel, M., and Sepahi, A (2009) Poly phase deformation in the Kamari - Dehno Asadollah Khan Area, Southeast of Hamadan. *Iranian Journal of Geological Sciences*, Issue, 11: 187–198.
- Kerrick, D. M (1987) Fibrolite in contact aureoles of Donegal, Ireland, *American Mineralogist*, 72 (3-4): 240–254.
- Klu'gel, A., Walter, T. R., Schwarz, S., Geldmacher, J (2005) Gravitational spreading causes en-echelon diking along a rift zone of Madeira Archipelago: an experimental approach and implications for magma transport. *Bulletin of Volcanology*, 68 (1): 37e46.
- Kusumoto, S., N. Geshi, and Gudmundsson, A (2013) Aspect ratios and magma overpressures of non-feeder dikes observed in the Miyakejima volcano (Japan), and fracture toughness of its upper part, *Geophys. Res. Lett.*, 40: 1065–1068, doi:10.1002/grl.50284.
- Mahmoudi, S., Corfu, F., Masoudi, F., Mehrabi, B., Mohajjel, M (2011) U–Pb dating and emplacement history of

- the Sinceni granite– pegmatite system in Swaziland, *Chemical Geology*, 153: 125–137.
- Valizadeh, M. V., and Torkian, A (1999) Petrographic and Petrological Study of Pegmatites in the Hamadan Region. *Journal of Sciences, University of Tehran*, 2: 121-135.
- Varga, R. J., Gee, J. S., Staudigel, H., Tauxe, L (1998) Dike surface lineations as magma flow indicators within the sheeted dike complex of the Troodos ophiolite, Cyprus. *Journal of Geophysical Research: Solid Earth*, 103(B3): 5241-5256.
- Webber, K. L., Falster, A. U., Simmons, W. B., Foord, E. E (1997) The role of diffusion controlled oscillatory nucleation in the formation of line rock in pegmatite– aplite dikes. *Journal of Petrology*, 38: 1777–1791.
- Whitney, D. L., and Evans, B. W (2010) Abbreviations for names of rock-forming minerals. *American mineralogist*, 95(1): 185-187.
- Yavuz, F., Gultekin, A. H., Karakaya, M. C (2002) CLASTOUR: a computer program for classification of the minerals of the tourmaline group", *Computers Geosciences*, 28: 1017-1036.
- Calamity Peak satellite pluton of the Harney Peak Granite, South Dakota: the role of boron. *Geochimica et Cosmochimica Acta*, 51: 487–496.
- Salami, S (2016) Study of Pegmatites and Aplitic Rocks in the Borujerd, Hamadan, and Qorveh Areas (Northwest of the Sanandaj-Sirjan Zone). Ph. D Thesis, Faculty of Basic Sciences, Bu-Ali Sina University, Hamadan, 295 pp.
- Salimi, M. and Alipoor, R (2023). Active tectonics assessment of the southeastern faults of the Hamadan city. *Quaternary Journal of Iran*, 9 (1-2).
- Sepahi, A. A., Salami, S., Lentz, D., McFarlane, C., Maanijou, M (2018) Petrography, geochemistry, and U-Pb geochronology of pegmatites and aplites associated with the Alvand intrusive complex in the Hamedan region, Sanandaj–Sirjan zone, Zagros orogen (Iran), *International Journal of Earth Sciences*, 107: 1059-1096.
- Sepahi, A. A., Vahidpour, H., Lentz, D. R., McFarlane, C. R., Maanijou, M., Salami, S., Miri, M., Mansouri, M., Mohammadi, R (2020) Rare sapphire-bearing syenitoid pegmatites and associated granitoids of the Hamedan region, Sanandaj–Sirjan zone, Iran: analysis of petrology, lithogeochemistry and zircon geochronology/trace element geochemistry. *Geological Magazine*, 157(9): 1499-1525.
- Sepahi, A. A., Salami, S., Maanijou, M (2020) The study of petrography and mineral chemistry in aplite-pegmatites from Simin valley (south of Hamedan), *Iranian Journal of Crystallography and Mineralogy*, 28 (1): 37-50.
- Shahbazi, H., Siebel, W., Pourmoafee, M., Ghorbani, M., Sepahi, A., Shang, C (2010) Geochemistry and U-Pb zircon geochronology of the Alvand plutonic complex in Sanandaj–Sirjan Zone (Iran): New evidence for Jurassic magmatism. *Journal of Asian Earth Sciences*, 39(6): 668-83.
- Smith, R. P (1987) Dyke emplacement at Spanish Peaks. In: Halls, H.C., Fahrig, W.F. (Eds.), *Geological Society of Canada Special Paper 34. Mafic Dyke Swarms, Colorado*, pp. 47-54.
- Staudigel, H., Gee, J. S., Tauxe, L., Varga, R. J (1992) Shallow intrusive directions in sheeted dykes in the Troodos ophiolite: Anisotropy of magnetic susceptibility and structural data. *Geology*, 20: 841-844.
- Tibaldi, A (2003) Influence of cone morphology on dykes, Stromboli, Italy. *Journal of Volcanology and Geothermal Research*, 126 (1-2): 79-95.
- Tian, Y., and Shan, Y (2011) The diversity of flow structures in felsic dykes. *Journal of the Geological Society*, 168(4): 1001-1011.
- Trumbull, R. B and Chaussidon, M (1999) Chemical and boron isotopic composition of magmatic and Hydro thermal tourmaline from

The Study of Chemistry and Magmatic - Tectonic Fabrics in Pegmatoid Dikes, Southeastern Hamedan

L. Izadi Kian^{*1} and A. Torkian²

1- Assist. Prof., Dept., of Geology, Faculty of Science, Bu Ali Sina University, Hamedan, Iran

2- Assoc. Prof., Dept., of Geology, Faculty of Science, Bu Ali Sina University, Hamedan, Iran

^{*} lizadi@basu.ac.ir

Received: 2024.12.4 Accepted: 2025.3.1

Abstract

In the southeastern region of Hamadan, numerous pegmatitic dikes have intruded into the schists. These dikes consist of a mineralogical composition that includes albite, alkali feldspar, tourmaline, quartz, and muscovite. Based on point analyses, the tourmalines are identified as schorl, the feldspars as orthoclase, the plagioclases as albite, and the muscovites as a member of the muscovite-seladonite group. Considering the Fe# ratio against magnesium oxide, the samples are situated in domain A, and the distance of the pegmatitic veins from their fluid source is about 1 kilometer. The dikes have low to vertical dips and variable thicknesses, with a dominant trend of NW-SE. Magmatic fabrics such as mineral orientation and enclaves, banded texture within the dike, and fabrics resembling thermal lineations on the external surface of the dike have formed in interaction with the host rock. Based on field observations and microscopic studies, the dikes in the area are classified into three different types concerning their deformation: extensional dikes (tensional), active dikes, and mylonitic dikes. Extensional dikes have formed in the fractures within the host rock (joints, faults, schistosity) and exhibit a comb texture, which indicates a low to moderate opening rate of the fractures. The second type, the active dikes, have a magmatic pressure that has resulted in a banded texture parallel to the walls. The third type, the mylonitic dikes, show evidence of solid-state deformation. These dikes have been re-deformed after cooling under the influence of shear zones, and their high-temperature deformation microstructural evidence is apparent.

Keywords: Dike, Pegmatite, Fabric, Aspect Ratio, Hamedan.

Introduction

Dikes usually intrude along zones of weakness in the crust, such as faults, joints, or fractures. These fractures can form due to tectonic forces (e.g., extensional or compressional stress), cooling and contraction of rocks, or other stress-induced mechanisms. Magma, generated from partial melting in the mantle or lower crust, rises upward due to buoyancy, moving through conduits and fractures toward the surface.

Regional Geology

In southeastern Hamedan, numerous pegmatoid dikes have intruded into schist rocks. These dikes exhibit a mineralogical composition including albite, alkali feldspar, tourmaline, quartz, and muscovite. Based on point analyses (microprobe), the tourmalines are of the schorl type, the feldspars are orthoclase, the plagioclases are albite, and the muscovites represent the end-member muscovite-celadonite series. Considering that the Fe# values versus magnesium oxide place the samples in domain A,

the distance of the pegmatoid veins from their fluid source is approximately 1 kilometer.

Petrography and Minerals chemistry

Based on point analyses (microprobe), the tourmalines are of the schorl type, the feldspars are orthoclase, the plagioclases are albite, and the muscovites represent the end-member muscovite-celadonite series. Considering that the Fe# values versus magnesium oxide place the samples in domain A, the distance of the pegmatoid veins from their fluid source is approximately 1 kilometer. In these dikes, biotite is generally absent. The absence of biotite may be related to the chemical composition of the magma (potassium and aluminum-rich, iron and magnesium-poor), high oxidation conditions, low temperature and pressure conditions, and the presence of hydrothermal fluids. The dominant mineral assemblages typically exhibit a pegmatitic texture, but a graphic texture, which is the result of the intergrowth of quartz and alkali feldspar, is also clearly observed both in hand samples and in thin sections. Based on point

analyses, the tourmalines are identified as schorl, the feldspars as orthoclase, the plagioclases as albite, and the muscovites as a member of the muscovite-seladonite group. Considering the Fe# ratio against magnesium oxide, the samples are situated in domain A, and the distance of the pegmatitic veins from their fluid source is about 1 kilometer.

Structural Features of Dikes and Aspect Ratio

The general orientation of the dikes is mostly northwest-southeast, north-south, and some have a northeast-southwest trend. The trend of these dikes is generally straight, although some show a change in orientation along their length. The dip of the dikes varies, ranging from inclined to nearly vertical. The thickness and length of the dikes also fluctuate. The maximum thickness is about 13 meters, and the longest dike is 1023 meters in length. The aspect ratio of the dikes, calculated as the ratio of dike length to dike thickness (opening amount), is an important criterion in analyzing the behavior of dikes. This ratio can provide valuable information about the internal pressures of the magma and the mechanical properties of the host rocks. Dikes form when magma, under high pressure, is injected into fractures of the host rocks. A high aspect ratio (a large length-to-thickness ratio) indicates that the magma was injected under high pressure and into a rock with greater resistance, forming a long and thin dike. In contrast, a lower aspect ratio may suggest softer host rocks with lower resistance. In the study area, the aspect ratio values range from 9 to 243, with an average value of 87, indicating a low aspect ratio. This could be related to the proximity of the dikes to the surface and the weaker elastic conditions of the host rocks.

Discussion

Based on field observations and microscopic studies, the dikes in the region are classified into three types in terms of deformation. The first type consists of extensional dikes, the second type are active dikes, and the third type are mylonitic dikes. In the first type of dikes, the walls of the dike have opened with a low rate, and crystals begin to crystallize from the walls in the direction of the minimum stress (σ_3 axis). In most of the dikes, tourmaline crystals that are perpendicular to the dike walls have been fractured, indicating that the opening of the dike has continued,

leading to the fracturing and brecciation of the tourmaline crystals. Additionally, the filling of spaces between tourmaline fractures with minerals such as quartz and feldspar suggests that magmatic fluids were still present in the area. This type of dike also represents a passive emplacement of dikes, where the role of magma pressure in the formation and creation of new spaces was minimal.

The second type consists of active dikes with moderate deformation. In these dikes, deformation is concentrated at the boundary between the dike and the host rock. In this type, host rock crystals, such as muscovite, sillimanite, and andalusite, have rotated near the dikes and become aligned parallel to the dike walls. In these dikes, the magma flow was strong, and the internal fabric, or banded texture, is parallel to the dike walls. These magmatic bands are often regular and parallel to the dike walls, indicating a laminar flow of magma. Additionally, enclaves of schist have been detached from the host rock and are aligned with the dike walls. The pressure of the magma played a significant role in the formation of these dikes, and the magma pressure was high enough to align the host rock crystals and enclaves, also creating the banded texture.

The third type consists of mylonitized dikes. These dikes show complete solid-state deformation, with mylonitic foliations and shear lineations formed. In these dikes, muscovite crystals exhibit undulatory extinction and have been converted into fibrolite and sillimanite. The conversion of muscovite into fibrolite and sillimanite indicates high-temperature deformation. Other indicators, such as recrystallization through grain boundary migration (GBM) and checkerboard extinction, confirm a minimum deformation temperature of 700°C. Tourmaline crystals in the mylonitized dikes show deformable behavior. As a resistant mineral, tourmaline can remain stable in a wide temperature range from the greenschist facies to the amphibolite facies, with the boundary between brittle and ductile behavior of this mineral occurring at approximately 500°C.

Acknowledgements

The authors of the article would like to acknowledge Bu-Ali Sina University for their support in covering part of the costs for preparing thin sections and field visits.